



MATEMATICKO-FYZIKÁLNÍ
FAKULTA
Univerzita Karlova

Igor Böhm

**Detekce a přisuzování změn klimatu pomocí
ekonometrických metod**

Francisco Estrada, Pierre Perron

15. května 2024

- Článek je komplikací různých metod pro modelování globální teploty s důrazem na jejich historický vývoj.
- Cílem je najít metody pro modelování globální teploty, které by dobře detekovaly změny v teplotách a případně mohly odpovědět na otázku, zda a kolik se na změně teploty podílí člověk.
- Zde si uvedeme hlavní metody a myšlenky použité v článku.

Procesy pro modelování

- Předpokládáme časovou řadu $y_t = \tau_t + z_t$, kde τ_t je trendová složka a z_t je náhodný šum. Budeme chtít, aby časová řada byla slabě stacionární.
- Proces se nazývá integrovaný stupně d ($I(d)$), pokud je d -tá diference šumu stacionární ($\Delta^d z = (1 - L)^d z_t$, L je zpětný operátor).
- Pro proces ARMA (kde $A(L)z_t = B(L)e_t$, A, B jsou polynomy, $e_t \sim i.i.d.(0, \sigma^2)$) platí, že pokud jsou všechny kořeny polynomu A vně jednotkového kruhu, je tento proces stacionární a kauzální. Pokud pro chybovou složku d -té diference procesu $\{y_t\}$ platí, že má A právě d jednotkových kořenu a ostatní za jednotkovým kruhem, pak je $I(d)$.

Jednotkové kořeny

- předpokládejme model AR(1):

$$z_t = \alpha z_{t-1} + e_t, \quad e_t \sim i.i.d(0, \sigma^2).$$

Příkladem procesu s jednotkovým kořenem je $\alpha = 1$. Zde je $\Delta z_t = e_t$ *i.i.d.* proces. V tomto procesu má každá náhoda e_t permanentní vliv na podobu řady v budoucnosti

$$z_t = z_0 + \sum_{j=1}^t e_j.$$

- Toto je proces klasické háhodné procházky.

- Nezávislost v náhodné procházce je dost restriktivní. V náhodné složce by se mohla uvažovat korelace mezi blízkými časovými momenty $\Delta z = v_t$, kde v_t je náhodný proces projevující nějakou korelací.
- Jako příklad může posloužit v_t jako MA(1) model $v_t = e_t + \theta e_{t-1}$. Pak $z_t = z_{t-1} + e_t + \theta e_{t-1}$. Předpokládáme-li jednotkový skok $e_t = 1$, pak jeho vliv v čase $t+1$ bude zvýšení hodnoty o $(1+\theta)$.
- Pro v_t obecný stacionární a kauzální ARMA proces platí $A(L)v_t = B(L)e_t$, $e_t \sim i.i.d.(0, \sigma^2)$. Z kauzality jej lze vyjádřit ve tvaru MA(∞): $v_t = A(L)^{-1}B(L)e_t = \psi(L)e_t$. Pak dlouhodobý vliv jednotkového skoku e_t na z_t je dán jako $\psi(1) = \sum_{i=0}^{\infty} \psi_i$.

Náhodný proces s driftem a stochastickým trendem

- Mnohé řady mají tendenci prokazovat linearitu v trendu, budeme uvažovat $\tau_t = \mu + \beta t$. β je směrnice trendu (také drift). Pak $\Delta y_t = \beta + v_t$ pro $A(L)v_t = B(L)e_t$ a $y_t = \mu + \beta t + \sum_{j=1}^t v_j$.
- Trend se skládá z deterministické složky, která je dána driftem, a z náhodné složky, která je dána permanentním skokem každého e_t .
- Trend se dá získat tzv. Beveridgeovým-Nelsonovým rozkladem. Předpokládejme MA reprezentaci Δy_t : $\Delta y_t = \beta + \psi(L)e_t$. Rozložme $\psi(L) = \psi(1) + (1 - L)\psi^*(L)$, kde $\psi^*(L) = -\sum_{j=0}^{\infty} \psi_j^* L^j$, $\psi_j^* = \sum_{i=j+1}^{\infty} \psi_i$.
- Pak $y_t = \mu + \beta t + \psi(1) \sum_{j=1}^t e_j + w_t$, kde $w_t = \psi^*(L)e_t$ je stacionární náhodný proces.

- Vhodnou definicí trendu je podmíněná střední hodnota $E(y_{t+k}|y_s, s \leq t)$. Pak dostáváme

$$E(y_{t+k}|y_s, s \leq t) = \mu + \beta(t+k) + \psi(1) \sum_{j=1}^t e_j,$$

jelikož w_t je stacionární.

- Protože je trend náhodnou fluktuací permanentně ovlivněn, říká se takovým modelům modely se stochastickým trendem (označují se DS).

Trendově stacionární modely

- Alternativou jsou modely, kde je nárůst trendu čistě deterministický, tedy $y_t = c + \beta t + w_t$, kde je $C(L)w_t = D(L)e_t$ pro $e_t \sim i.i.d.(0, \sigma^2)$ se všemi kořeny $D(L)$ a $C(L)$ mimo jednotkový kruh.
- Takovýmto modelům se říká TS modely (*transitory*), neboť náhodná fluktuace e_t je pouze přechodný jev.
- Rozlišení mezi TS a DS procesy se říká problém testování jednotkového kořene.

Trendová funkce se skoky

- Široce rozšířenou třídou trendově stacionárních procesů v literatuře o modelování klimatu jsou jsou modely se změnami tvaru trendové funkce. Obecně parametry trendu a jejich strukturální změny nemusí být deterministické.
- Jedním z takových modelů může být

$$y_t = \mu_t + \beta_t t + z_t,$$

kde $\mu_t = \mu_{t-1} + \nu_t$ a $\beta_t = \beta_{t-1} + t_t$.

- Šumová komponenta se dá modelovat jako kombinace dvou normálně rozdělených veličin, kde jedna má vysoký rozptyl a druhá nízký nebo nulový. Toto lze popsat například tímto způsobem: $u_t = \lambda_t \gamma_{1t} + (1 - \lambda_t) \gamma_{2t}$ a $\nu_t = \kappa_t \delta_{1t} + (1 - \kappa_t) \delta_{2t}$, kde $\gamma_{it} \sim N(0, \sigma_{\gamma_i}^2)$, $\delta_{it} \sim N(0, \sigma_{\delta_i}^2)$, přičemž λ_t a κ_t jsou alternativně rozdělené veličiny s pravděpodobnostmi úspěchu α_λ , resp. α_δ .

Frakcionálně integrované procesy

- V případě, kdy pro stacionaritu potřebujeme parametr diference d neceločíselný, využívají se tzv. frakcionálně integrované procesy. Nejčastějším modelem je ARFIMA, což je zobecnění ARIMA modelu pro neceločíselné d . V takovém případě je

$$\begin{aligned}(1 - L)^d &= 1 - dL + \frac{d(d-1)}{2!}L^2 + \frac{d(d-1)(d-2)}{3!}L^3 + \dots = \\ &= \sum_{k=0}^{\infty} \frac{\Gamma(k-d)L^k}{\Gamma(-d)\Gamma(k+1)}.\end{aligned}$$

- Autokorelační funkce takového procesu je

$$\rho_t = \frac{\Gamma(1-d)\Gamma(\tau+d)}{\Gamma(d)\Gamma(k+1)} \approx c\tau^{2d-1}$$

pro nějaké c .

- Autokorelační funkce klesá pomalu hyperbolicky pro $0 < d < 0,5$. Pro tento typ procesů je y_t stacionární a kauzální pro $|d| < 0,5$. Pro $0 < d < 0,5$ vykazuje proces dlouhodobou paměť (mnohem delší než $I(0)$) s podobnou ARMA strukturou).
- Pro $0,5 < d < 1$ je proces nestacionární, ale vliv jednotkového náhodného skoku konverguje k 0.

Porovnání modelů

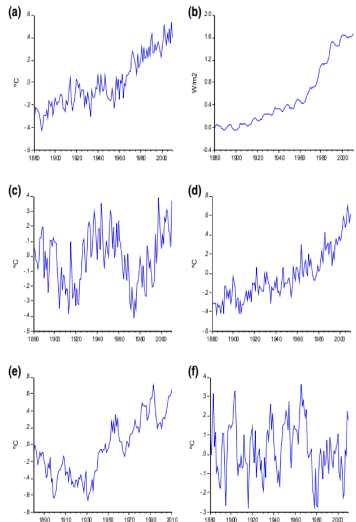


Fig. 1 Global temperatures (filtered; a), TRF (b), AMO (c), Temp_TSB (TS plus break in slope; d), Temp_DS (e), and Temp_S (f)

- (a) Graf globální teploty.
- (b) Globální teplota s odfiltrovaným radiačním působením (*total radiative forcing*).
- (c) Globální teplota s odfiltrovanou nízkofrekvenční oscilací podmínek v severním Atlantiku (*AMO*).
- (d) Simulovaný TS proces se skoky v driftu.
- (e) Simulovaný DS.
- (f) Simulovaný STACIONÁRNÍ PROCES.

- Pokud ke změně dojde jednou nebo pouze v několika případech v dlouhém časovém horizontu, je obtížné modelovat změnu pomocí stochastické struktury kvůli malému počtu pozorovaných změn. Většinou se tyto fenomény vysvětlují přítomností exogenních faktorů a nejsou explicitně modelovány parametrickou stochastickou strukturou.
- Takové situace jsou většinou způsobeny jevy jako zvýšená sluneční aktivita, malé změny v orbitě země nebo zvýšenou produkcí skleníkových plynů.
- V následující části jsou proto uvedeny metody testování jednotkového kořene.

Testování jednotkového kořene

- Nejčastěji používaným testem je test ADF. Předpokládejme $AR(p)$, kde p je známé:

$$y_t = \sum_{i=1}^p a_i y_{t-i} + e_t,$$

neboli $A(L)y_t = e_t$, kde $A(L) = 1 - a_1 L - \dots - a_p L^p$. Obsahuje-li proces jednotkový kořen, pak $A(L) = (1 - L)A^*(L)$, kde A^* je polynom stupně $p - 1$ se všemi kořeny mimo komplexní jednotkový kruh. Proto $A(1) = 0$ a $\sum_{i=1}^p a_i = 1$.

- Po reparametrisaci získáme

$$y_t = \alpha y_{t-1} + \sum_{i=1}^{p-1} d_i \Delta y_{t-i} + e_t, \quad \alpha = \sum_{i=1}^p a_i$$

Test je založen na odhadu předchozí rovnosti, kde se při použití t-statistiky pro testování nulové hypotézy, že $\alpha = 1$.

- Je-li přítomná deterministická část trendu x_t , pak se použije model

$$y_t = \beta x_t + \alpha y_{t-1} + \sum_{i=1}^{p-1} d_i \Delta y_{t-i} + e_t.$$

- Které deterministické komponenty zahrnout záleží na konkrétní časové řadě.

Testování jednotkového kořene při strukturálních změnách funkce trendu

- Pokud se struktura stochastického trendu mění v čase, jsou standardní testy velice slabé (nejsou ani asymptoticky konzistentní).
- Do též byl diskutován rozdíl mezi DS procesy (trendová funkce se mění stále) a TS procesy (trendová funkce je pořád stejná). Lepší pohled by byl se zeptat, jestli se mění trend pořád nebo jen občas. Případně jaká je frekvence prenamentních skoků?
- Pokud bychom tyto změny v trendu modelovali jako náhodné veličiny, těžko by se odhadovalo jejich rozdělení.
- Proto je lepší si položit otázku, jestli data ukazují na občasnou změnu v trendu a pokud ano, tak jestli je přítomný jednotkový kořen v náhodné komponentě?

- Jednou možností je použít rozšíření ADF testu na model, ve kterém předpokládáme, že mění pouze směrnici.

$$y_t = \mu_1 + \beta_1 t + (\beta_2 - \beta_1) DT_t^* + u_t,$$

kde $DT_t^* = t - T_1$ pro $t > T_1$, 0 jinak. Nulová hypotéza zde je, že u_t je I(1), alternativní hypotéza, že je u_t I(0).

- Testování je založeno na následující regresi

$$y_t = \mu + \beta t + \gamma DT_t^* + \tilde{y}_t,$$

kde $\gamma = \beta_2 - \beta_1$ a \tilde{y}_t je posloupnost s odstraněným trendem (detrending). Test je založen na hodnotě t-statistiky následující autoregresní posloupnosti:

$$\tilde{y}_t = \alpha \tilde{y}_{t-1} + \sum_{i=1}^k a_i \Delta \tilde{y}_{t-i} + e_t.$$

- Časové momenty změn se dají odhadnout minimalizací/maximalizací t-statistiky při určitých parametrech.

- Výsledný test jednotkového kořene testuje hypotézu, že $\alpha = 1$.
- Problémem v těchto úvahách je, že v závislosti, zda je proces I(0) nebo I(1), limitní rozdělení testů se budou lišit a pokud je proces špatně identifikován, testy budou mít špatné vlastnosti.
- Tento problém řeší tzv. Perronův-Yabuův testovací postup.

Table 2 Perron–Yabu test applied to G, TRF, AMO and to the simulated temperature series Temp_TSB, Temp_DS and Temp_S

Bold figures denote statistical significance at the 1 % level

Series	Exp-Wald statistic value
G	12.34
TRF	7.92
AMO	0.28
Temp_TSB	19.50
Temp_DS	0.15
Temp_S	-0.31

- Další metoda pro testování přítomnosti jednotkového kořene je Kimův-Perronův test. Ten je založen na na Perronově-Yabuově testu a pak na testování $\tilde{\alpha} = 1$ pro

$$\tilde{y}_t^n = \tilde{\alpha}\tilde{y}_t^n + \sum_{i=1}^k c_i \Delta \tilde{y}_{t-i}^n + \tilde{e}_t.$$

- Dále existují metody, které testují přítomnost nelineárního trendu se strukturálními změnami.

Perronova-Zhuova metodologie

- Jedná se o metodologii, která odhaduje interval spolehlivosti pro bod, ve kterém dojde ke změně parametrů trednu.
- Uvažujme lineární trend. Deterministická část trendu je dána

$$\tau_t = \mu + \beta t + \gamma DT_t^*,$$

kde $DT_t^* = t - T_1$ pro $t > T_1$, jinak 0 a $T_1 = \lambda T$. Taková funkce je spojitá.

- Metoda je založená na minimalizaci součtu čtverců reziduí, kde metodou nejmenších čtverců odhadneme model

$$t = \mu + \beta t + \gamma DT_t^* + u_t.$$

- 95% interval spolehlivosti pro změnu trendu je v modelu G (1946, 1966), pro TRF (1956, 1964).

Kointegrace

- Integrované proměnné jsou kointegrované, pokud existuje jejich lineární kombinace, která je stacionární.
- Máme-li $x_t = \mu_{xt} + \epsilon_{xt}$ a $z_t = \mu_{zt} + \epsilon_{zt}$, kde μ_{xt} a μ_{zt} jsou procesy s jednotkovým kořenem, a ϵ_{xt} , ϵ_{zt} jsou stacionární procesy. Tyto procesy jsou kointegrované, pokud existuje lineární kombinace $\alpha_1 x_t + \alpha_2 z_t$ taková, že $\mu_{xt} - (\alpha_2/\alpha_1)\mu_{zt}$ je stacionární a $\alpha_1, \alpha_2 \neq 0$. Z toho plyne, že jsou μ_{xt} a μ_{zt} stejné až na konstantu.
- Pro n proměnných $y_t = (y_{1t}, \dots, y_{nt})$ jsou kointegrované řádu d, b nebo $y_t \sim CI(d, b)$, pokud jsou všechny integrované řádu d a existuje vektor β , pro který $\beta \cdot y_t$ je integrovaný proces řádu $(d - b)$, $b > 0$.
- Máme-li dva procesy y_{1t} , který reprezentuje globální teplotu, a y_{2t} , který představuje nějaký jiný proces (například koncentraci skleníkových plynů), které jsou kointegrované, můžeme to připsat k tomu, že má lidská činnost skutečně vliv na globální (či hemisférickou) teplotu.

- DS_1 a DS_2 jsou simulované DS řady, které sdílí stochastický trends. DS_3 a DS_4 jsou simulované DS řady s nezávislými stochastickými trendy.
-

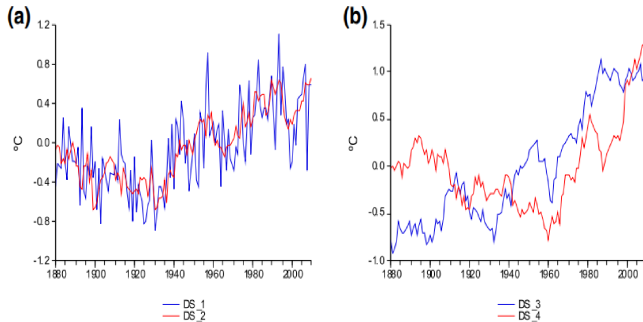


Fig. 2 Cointegrated (a) and not cointegrated (b) simulated difference stationary series

- Pro testování kointegrace se nejběžněji používají 3 různé testy. Tučně jsou vyjádřeny statisticky významné výsledky testů na hladině významnosti **1%**.

Table 4 Cointegration tests applied to simulated variables DS_1 and DS_2, and DS_3 and DS_4

Series	Trace statistic	Max-eigenvalue statistic	Engle–Granger ADF test statistic
DS_1, DS_2	27.91	27.11	-11.61
DS_3, DS_4	4.25	3.77	-1.70

Bold numbers denote statistical significance at the 1 % level

- Zatím jsme řešili pouze lineární trendy, otázkou je, zda dvě či více časových řad sdílí trend?
- Nelineární trendově stacionární model lze zapsat jako
 $z_t = g(t) + u_t$, kde $g(t) = \beta_0 + \beta_1 t + f(t)$, kde z_t je k-rozměrná časová řada, u_t je k-rozměrný centrovaný stacionární proces a $f(t)$ je deterministická k-rozměrná nelineární trendová funkce, které zohledňují změny v trendu. Nelineární co-trending nastává, když existuje nenulový vektor θ takový, že $\theta \cdot f(t) = 0$.
- Nulová hypotéza je, že mnohorozměrná časová řada z_t obsahuje nelineární co-trending. To znamená, že existuje alespoň jedna lineární kombinace časových řad tak, že je stacionární kolem nějaké konstanty nebo lineárního trendu.

Autoři závěrem konstatují, že je literatura zabývající se modelováním globálního oteplování velice široká. I přes to panuje většinová shoda na názoru, že se globální teplota na zemi skutečně zvyšuje a že na ni má lidská činnost zásadní vliv.

- Francisco Estrada, Pierre Perron. Detection and attribution of climate change through econometric methods. Sociedad Matemática Mexicana (2014).